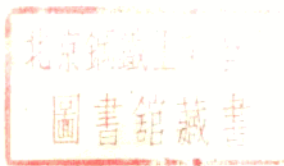


高等学校教学用書

煉 鐵 學

第二卷 第二分冊

M. A. H. A. B. I. O. B. 著
北京鋼鐵工業學院冶金系煉鐵教研組譯



高等教育出版社

TF5
L13:2(2)C

高等学校教学用書



煉 鐵 學

第二卷

高爐冶煉原理

第二分冊

M. A. 巴甫洛夫著

北京鋼鐵工業學院冶金系煉鐵教研組譯

SAK48/2

北方工业大学图书馆



GJ011798

高等教育出版社

本書系根据苏联国立黑色与有色冶金科技書籍出版社（Государственное научно-техническое издательство литературы по черной и цветной металлургии）出版的 M. A. 巴甫洛夫（М. А. Павлов）院士著“炼铁学第二卷高爐冶炼原理”（Металлургия чугуна часть II. Доменный процесс）1949年版譯出。原書經苏联高等教育部审定为冶金工業学院教学参考書。

第二卷系根据最新的数据詳細地、原則地描述了高爐冶炼原理。作为高等工業学校同学的学习参考書，同时亦可供虽未学过炼铁專門課程，但具有足够理論基础的技术工作者参考用。

本書第二卷譯本分兩分冊出版，第二分冊为后兩章：煤气上升過程中溫度、壓力及化学成分的变化和高爐中热量的發展及使用。

参加第二分冊譯校的是北京鋼鐵工業學院冶金系煉鐵教研組陳大受和陶少杰。

煉 鐵 學

第二卷 第二分冊

M. A. 巴甫洛夫著

北京鋼鐵工業學院冶金系煉鐵教研組譯

高等教育出版社出版

北京印業廠一七〇號

(北京市書刊出版業營業許可證出字第〇五四號)

京華印書局印刷 新華書店總經售

統一書號 15010·203 開本 850×1168 1/32 印張 9 1/2 1/16 字數 231,000

一九五七年三月北京第一版

一九五七年三月北京第一次印刷

印數 0001—3,500 定價(10) 人民幣 1.10

第二卷第二分冊目錄

第三章 煤氣上升過程中溫度、壓力及化學成分的變化	335
一、煤氣溫度	335
高爐爐缸內燃燒反應所產生的溫度 爐腹內最普遍的溫度 爐身內的 煤氣溫度 爐頂煤氣溫度	359
二、煤氣壓力	359
三、煤氣的化學成分	369
向爐頂上升途中煤氣化學成分的變化 爐頂煤氣成分計算 各種因素 對煤氣成分的影響 最後煤氣成分 應用爐頂煤氣分析子計算	
第三章參考書目	418
第四章 高爐中熱量的發展及使用	421
一、高爐冶煉中收入的熱量及其在各項熱量消耗上的分配	421
收入的熱量 各項熱量消耗的分配	
二、高爐冶煉的物質平衡	439
根據最初的研究者們的数据，著者組成簡略的物質平衡 現代高爐的 詳細物質平衡	
三、熱平衡計算	463
貝爾的計算 格留涅爾的計算 奧蓋爾孟的計算 依集夫斯基熱平衡 計算方法 热平衡計算典型方法的最新變革 地域熱平衡	
四、近代高爐的熱平衡	510
熱平衡計算及其簡單特徵 高爐操作指標 热平衡的意義	
五、應用熱平衡數據解決高爐冶煉的理論和實際問題	558
熱風 干風，蒸汽送風 富氧送風 根據熱平衡計算燃料消耗 高爐 冶煉中可能的最低理論燃料消耗量	
第四章參考書目	614
附录	
附录 I 化合物的生成热	621
附录 II 固体、液体及气体的热容	626
附录 III 还原反应热热效应(千卡)计算举例	637
附录参考書目	638

第三章 煤气上升过程中溫度、 压力及化学成分的变化

一、煤氣溫度

在研究了高爐內完成的所有過程以後，可以得到一個關於高爐內溫度合宜分布的共同的結論：即要熔化區域的發展正常，並創造對還原過程最有利的條件（就燃料及熱量消耗方面來說），必須有廣大發展的中溫區，需要熱力集中爐缸，並使氧化區限制在尽可能狹小的區域內。

在高爐內做到溫度分布適宜的措施是：（1）用高風溫，（2）使高爐內各水平斷面上的氣體分布均衡，（3）增大高爐尺寸，特別是高度。

（1）高風溫——這是使熱力集中於爐缸及爐腹下部的特種方法；過去已多次說過高風溫在這方面的作用，這裡應該指出這是降低高爐上部各水平層溫度的最重要的因素。

（2）煤氣的均勻分布，這在第一章中已經指出是使高爐行程合理和經濟的必要條件；當然高爐中煤氣能均勻分布，也就能造成溫度的合宜分布。

（3）至於高爐尺寸，則這裡還沒有提到增大高爐尺寸對降低爐頂煤氣溫度（因而也擴大了中溫區域）的意義。這是很久以前就意識到的。

1860 到 1870 年間在英國某些工廠的高爐高度已經達到現在也認為是極限的高度（1870 年高达 31.5 公尺）。下列數字 [1]①示

① 編者注 —— 書中 [1], [2], [8] 等系指參考書目號碼。

出克里夫林特某工厂中三个高爐的煤气温度。各高爐的高度相同，均为 24.4 公尺，仅容积不同而操作条件也完全一样。

容积, 立方公尺	328	440	722
爐頂煤气温度, °C	321	312	308
日产量, 吨	37	50	80

由于各高爐的焦比相同 (1.125)，冶炼强度相同 (即矿石在爐

內停留同样的时间，而每一單位高爐容积的产量也差不多相等)，所以温度几乎相等，差别很少。

当高爐高度由最初 14.33 公尺增至 24.38 公尺，容积由 170 立方公尺变为 440 立方公尺时，爐頂煤气温度自 399°C 下降到 336°C (这个温度所以較高是由于使用剛焙燒过的和干燥的矿石的缘故，同时焦炭也是干燥的)。

当高爐尺寸扩大时，高爐內溫度分布的变动情况 (从 1010° 开始到爐頂溫度) 可从比較 170 及 440 立方公尺的两个高爐的数据 [2] 看出来。这些数据均列于圖 106 中。

由于这两个高爐——大的及小的——所炼生鐵种类相同，所用原料也一样，因而很明显，小高爐中的高温区域將与大高爐中同样有着很好的發展，虽然大高爐的爐頂溫度还是相当高，但小高爐的中溫(不超

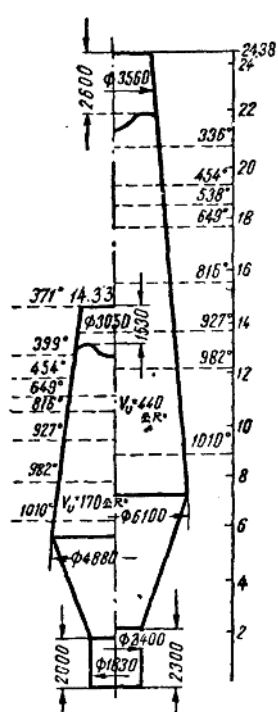


圖 106. 克利夫林特大小高爐的溫度分布。

过 1000°C)区域的高度比大高爐小 7 公尺。

高爐的高度增加了 10 公尺，爐頂煤气溫度仅降低 40°C，贝尔根据这一点假定在高爐上部进行放热反应，这限制了增加高爐高度时爐頂煤气溫度的下降。这一假定曾用机智的試驗加以証明，在焦批上裝入高爐渣(用来代替矿石)和正常数量的熔剂；这样，当裝入了若干批这样的爐料(空焦)以后，爐頂煤气溫度就下降了，相反，当变回矿石料时，爐頂煤气溫度又上升到平常溫度[3]。

这一点証明了 CO 还原鐵的氧化物的反应能放出热量(低温时高爐爐渣的热容和矿石的热容是相等的，在爐喉加热这两种原料所需要的热量是相等的)④。

以后曾指出增加高爐高度时限制煤气溫度下降这第二个原因是由于 $2CO = CO_2 + C$ 反应的發展。当中溫区域愈低时，这个反应發展愈多，放出的热量也更多。

由此得出一个結論，增加高爐高度时，爐頂煤气溫度仅下降到一定程度，很明显，从炼鐵时节省热量和节省燃料的观点上看来，进一步增加高度是沒有多少用处的。

高爐爐缸內燃燒反应所产生的温度 过去常用 30 到 40 公厘直徑的铁杆經風口窺視孔伸入爐缸(一直伸到对面爐牆)来研究爐缸狀況。铁棒在爐缸中停留一段時間后取出，其停留時間的長短根据爐缸情況决定。铁棒使我們相信在爐缸內沿着一个風口的中心綫从这个風口到对面風口的溫度分布是不均匀的：靠近風口，但在离風口某一距离处，铁杆常被燒到耀目的白熾色，甚至在这一地点(燃燒焦点)把铁杆燒化了，而后可以明显地看出铁杆的加热程度向爐缸中心的方向逐漸降低。

这个現象是正常的，并可在高爐操作正常时看到。但在个别

④ 在进行这一試驗时，还没有足够的資料来决定 CO 还原鐵的氧化物的热效应；一部分人認為是吸热反应，另一部分人則認為既不吸热也不放热。

情况下，例如爐缸內集結大量碎屑时，鐵棒来不及被集結在爐缸中心的加热不良的物料燒热（当停留时间短时）棒的内部仍呈現暗色。最后，甚至有时根本不能把鐵杆穿过爐缸中心——这說明爐缸中心的溫度更低，有尚未熔化的物質。

在所有这些情况下，从爐缸拉出的鐵杆都能很清楚地說明爐缸內溫度的分布，这些对实际操作者完全够用了的指示却無法單靠它們就換算成溫度來。采用光学高溫計，能够很便利而相当精确地測定放出时的爐渣及生鐵以及在風口前燃燒的焦炭的溫度。呂·查德里 [4] 曾首先做了这种測定，但他的数据一直是唯一的数据，在很长时期中沒有人再做过这种測定。其后美国在 32 个高爐 [5] 的爐缸內进行了大量的溫度測定（共計 7600 个馬尔司光学高溫計測數），其中 20 个高爐冶炼普通生鐵，含硅 0.92 到 2.4%，7 个高爐冶炼錳鐵及 5 个高爐冶炼鏡鐵；后来进行觀察的焦炭高爐数目又增加 16 个，此外并在 5 个木炭高爐上进行觀察。焦炭高爐冶炼普通生鐵的結果如下：

	溫度 °C		
	風口	爐渣	生鐵
鑄造生鐵	1748	1553	1493
平爐生鐵	1889	1522	1468
48 个高爐的平均数	1708	1526	1472

由各高爐風口窺視孔（校正 25°C ）所觀察到的溫度的波动范围很大，自 1595 到 1862°C ，这与高爐操作条件有关，同样也可能受仅由熾热的焦炭或渣液及生鐵的点滴向高溫計發送的光線的影响。根据計算 48 个高爐的風口平均溫度为 1708°C ，必須承認这是低于燃燒焦点达到的溫度的，那里的溫度不是用光学高溫計所能測到的。从上面引用的数字可以看出渣口放出的爐渣的溫度低于風口溫度，而各高爐的爐渣溫度变动則較少，48 个高爐爐渣溫度的平均数为 1526°C （注意到輻射的損失）。生鐵的溫度常較爐渣

溫度低 43 到 55°C, 其平均溫度为 1472°C。

研究者們按所煉生鐵將所有高爐分为 4 类，并提出下列数字作为各种类型的特征：

生鐵含硅量, %	1.02	1.23	1.49	1.96
生鐵含硫量, %	0.038	0.034	0.033	0.031
風口溫度, °C	1656	1720	1732	1737
爐渣在放出时的溫度, °C	1498	1515	1493	1539
生鐵在放出时的溫度, °C	1448	1470	1468	1477
渣中 $(\text{CaO} + \text{MgO}) / (\text{SiO}_2 + \text{Al}_2\text{O}_3)$ 的比	1.04	1.01	1.01	0.86	

根据这些数字可以得出一个結論，溫度較高和生鐵中含硫量較低时，生鐵中的含硅量必相應較高。但在一定的操作条件下，对硅來說，这种現象并不是在所有高爐上都是正确的。因为有时在比冶炼低硅生鐵更低的溫度下会煉出含硅量較高的生鐵来。这是由于所得爐渣成分不同的原因：或为高 Al_2O_3 的爐渣（16—17% Al_2O_3 ），或为通常爐渣（11.8—13% Al_2O_3 ）。曾在前面（硅的还原部分）講过高 Al_2O_3 爐渣使硅易于还原，即当燃料消耗較少及爐缸溫度較低的情况下用这种爐渣能获得用通常爐渣操作时同样含硅量的生鐵。

研究者們忽略了这一情况，同时忽略了曾用过量的易熔爐渣煉出过鑄造生鐵的事实，便根据碱性氧化物对酸性氧化物的关系加以判断，像实际操作者的錯覺一样，輕率地否定了还原硅必需要有較高溫度的必要性，这当然是不正确的。

耶科勃威涅尔 [6] 曾用多次測定（用呂·查德里普通高温計和中央冶金研究所的科学工作者們所創制的碳鎢特殊仪器来做这样的測定[7]，用这种仪器使能够全面地測定了查波洛什鋼鐵厂三号高爐爐缸半徑上——从風口到爐缸中心——各点的爐渣溫度和从爐缸放出的半爐生鐵的溫度）來訂出在用同样爐料冶炼时（即爐渣碱度仅随硅的还原而变动）溫度对硅和錳的还原的影响。耶科

勃威涅尔的圖解(圖 107 及 108)清楚地指出硅和锰的含量随着溫度的增高而增加。圖 109 并指出这时含硫量是怎样的逐漸降低。

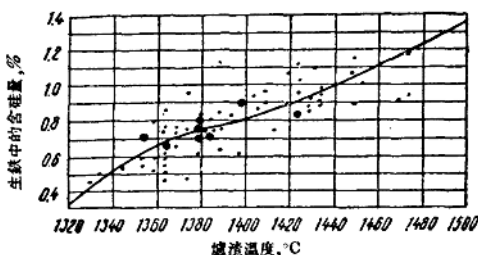


圖 107. 查波洛什三号高爐平爐生鐵中的含硅量和爐渣溫度的关系。

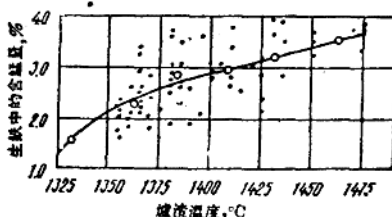


圖 108. 查波洛什三号高爐平爐生鐵中的含錳量和爐渣溫度的关系。

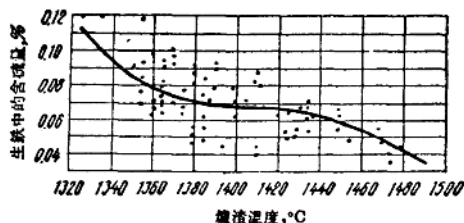


圖 109. 查波洛什三号高爐平爐生鐵中的含硫量和爐渣溫度的关系。

但在一定溫度下，硫在生鐵和爐渣間的分配則与爐渣的鹼度有关，觀察的結果也很好地証實了这一情况，使能訂出一个公式，

依据这一公式，一方面按生铁及渣的含硫量，另一方面按渣的碱度可以算出生铁的温度。其公式如下：

$$t = 1521 + 30S - 61B - 1666 s.$$

式中 S 为渣含硫量， s 为生铁含硫量， B 为碱度 $(\text{CaO} + \text{MgO}) / (\text{SiO}_2 + \text{Al}_2\text{O}_3)$ 。就计算出来的生铁温度加上 45°C 就是相应的渣温度。

用这个公式计算出来的数值与实际观察的结果很相近（平均差别为 7.4°C ，只有一次差别最大达 16°C ），但好像公式假定渣重量和生铁重量的比例不变（式中根本没有列入渣铁比的因素，同时渣的含硫量显然与渣量也是有关系的）。因此可以想到在某些情况下，我们将获得很不精确的数值，如当渣中含硫很高（苏联南方高炉），渣量很多（克利夫林特高炉）或生铁含硫很高（在炼碱性转炉生铁时，生铁中的硫量有时比适用于公式结论的生铁含硫量高 3 到 4 倍）。但是，著者根据已知的生铁和渣的成分所计算出来的数值（例如苏联南方工厂转炉生铁为 1472°C ，克利夫林特铸造生铁为 1480°C ），虽然略高一些，但均是可能的。对劳伦碱性转炉生铁来说当含硫为 0.12 到 0.15% 时，生铁温度仅为 1250 到 1300°C ；但当含硫 0.07% 时，生铁温度已可能是 1380°C 。

下列为冶炼镁铁和锰铁时所测定的平均温度数值 [8]：

	温度 $^\circ\text{C}$		
	风口	渣	生铁
镁铁(5 个高炉).....	1597	1427	1392
锰铁(7 个高炉).....	1550	1426	1386

和已往提出的数字相对照，很容易看出冶炼锰铁时的炉缸温度比冶炼普通生铁低。

这一结论充分证明了渣的熔度控制着高炉下部的温度而增加燃料消耗量对提高高炉炉缸温度的作用很小的理论。有关冶炼

锰铁的资料，当燃料组成(过于易熔的酸性炉渣)和高爐行程不正常时，更明显地证明了这一理论，尽管这时的燃料消耗非常高，也不能减少炉渣中 MnO 的含量。像从下列数据中看到的，这时所达到的温度或与冶炼普通生铁的温度相等或稍高一些(风口温度却比炼普通生铁的平均温度为低)：

焦比	3.55	3.53	3.62	3.83
炉渣碱度($\text{CaO}:\text{SiO}_2$)	1.38	1.48	1.52	1.40
炉渣含锰量，%	6.1	6.1	4.9	6.6
风口温度， $^{\circ}\text{C}$	1611	1614	1622	1623
铁水温度， $^{\circ}\text{C}$	1450	1460	1475	1480

柳滂在考沙哥尔斯克工厂一号高爐上冶炼锰铁时进行的测定，指出金属和炉渣的温度在广大的范围内波动(当焦炭消耗相同时)，这与炉渣的碱度和金属与炉渣中锰的浓度有关。

当用只含 CaO 25% 及 MnO 16% 的酸性炉渣冶炼时，含锰 72% 的锰铁的温度下降到 1295°C ，这时的炉渣温度则下降到 1350°C 。含 35% CaO 及 13.5% MnO 的炉渣温度为 1430°C ，这时锰铁含锰 75%，其温度为 1415°C 。含锰 80% 的锰铁具有最高的温度— 1515°C ，相应的炉渣含 CaO 39% 及 MnO 11%，其温度为 1587°C 。

由于焦炭消耗高(2.4)，在爐缸中风口水平面上的气体温度很高，在燃烧焦点达 1950 到 2000°C (根据石墨-鎢高温计的读数)，而爐缸中心(爐缸直径为 3.5 公尺)，即距离燃烧焦点 1 公尺处为 1500 到 1620°C 。

关于木炭高爐爐缸内的温度，在很长一段时间中均用粗略方法——把铁棒插入爐缸中停留一些时间——来测定的。这些测定指出铁棒在木炭高爐爐缸中停留的时间可以比在焦炭高爐内稍长，这一方面是由于木炭的气孔度大，因而木炭高爐爐缸中的热量不像焦炭高爐中那样集中，另一方面因为木炭高爐所用风温比通

常風溫較低，同样也因为木炭高爐的爐渣較易熔化。

焦瑟夫發表的測定結果[9]列于表 66 中。

像苏联研究者們最近的測定所指出的[10]，表 66 中的数字过高，但他們也肯定了早已訂出的結論（这些結論是很早以前根据从爐缸取出的熾熱鐵杆所提供的指示訂出的），木炭高爐即使用高風溫操作时，其爐缸也比焦炭高爐爐缸內的溫度較低。在用焦炭和木炭操作时，燃燒焦点的溫度差數應比在風口前所觀察到的更大，这是因为多孔的燃料和致密燃料的燃燒過程不同，同时也因为爐渣的難熔度不同。

表 66.

高 爐 号 数	風溫，°C	加 热 溫 度，°C		
		風口	爐渣	生 鐵
1.	493	1682	1454	1405
2.	527	1611	1485	1413
3.	560	1710	1440	1423
4.	371	1687	1413	1398
5.	635	1655	1465	1485
5 个高爐的平均数	—	1699	1451	1415

高溫計不可能看到爐缸內部，普通热电偶則不能承受燃燒焦点所能达到的那样高溫(1800—1900°C)。

在燃燒焦点至爐缸中心的方向上溫度下降得很多，使有可能用冷却管把热电偶經風口插入測量，但在这里进行測定是困难的。虽然过去曾进行了很多測定。

曾在三个德国高爐完成了[11]大量的这样研究，其中有兩個高爐的操作条件相同，即用同样的爐料，冶炼平爐生鐵，風压均为0.8 大气压，用韋司脫發里焦炭。第一个高爐当風溫为 620°C 时的焦比为 0.86。第二个高爐当風溫为 520°C 时的焦比为 0.85。第三个高爐制造鹼性轉爐生鐵，用薩爾焦炭，風溫为 700—800°C，風压

为 0.43 大气压，焦炭消耗量为 1.2 吨/吨生铁。

第一高爐爐缸溫度($^{\circ}\text{C}$)的測量結果如下：

距風口距離, 公厘	250	500	750	1000	1250	1500	1750
第一次觀察	1850	1670	1600	1600	1600	—	—
第二次觀察	1770	1750	1700	1650	1630	1550	1450
第三次觀察	1750	1700	1670	1600	1550	1500	1400

因为这一高爐的爐缸直徑為 3.9 公尺，所以从上列各溫度中看出来爐缸中心部分的溫度最低。

虽然第二高爐的爐缸直徑為 5 公尺，爐缸面積為第一高爐的 $\frac{2}{3}$ 倍，但每晝夜燃燒的焦炭只比第一高爐增加 7% (643 吨比 602 吨)；在同一風壓下，風口斷面積恰好使經風口送入的風速(按照在 0°C 及 760 公厘水銀柱壓力時計算) 相同，即每秒 44.5—45.5 公尺。第二高爐爐缸溫度得到不同的測定結果是可以理解的。

距風口 500 公厘處的溫度最高，達 1750°C ，此後很快下降，在距風口 1250 公厘處下降到 1100°C ，即降到了不足熔化爐渣甚至不足熔化生鐵的溫度。

在第三高爐冶煉較冷的生鐵，所用爐渣為更易熔化的爐渣，同樣發現在爐缸中有溫度在 1000 到 1100°C 范圍內的固体核心。需要注意，第三高爐風口前的溫度這樣低，相應在爐腰上面爐胸牆邊的煤气溫度很高。在距風口水平面 12.2 公尺及距爐胸牆 380 公厘的點的溫度達 815 到 930°C 。研究者正確地指出了這一原因是因為在用很多風口時，風口的總斷面積很大，使流入的風速僅為每秒 21.4 公尺的緣故(在 0°C 及 760 公厘水銀柱壓力時)，而當時德國新高爐的一般風速(每秒 65 公尺)是這一速度的 3 倍，而最高速度(每秒 81.4 公尺)差不多是 4 倍。

送入第一高爐及第二高爐的風速相同，為了解釋它們的溫度分布所以不同；必須注意二者燃燒強度的差別。第二高爐的風量按爐缸尺寸來說是不夠的，因為該爐爐缸中的燃燒強度仅为第一

高爐的三分之二。

馬格尼托哥尔斯克一号高爐（爐缸直徑為 7.62 公尺）在冶炼鑄造生鐵時所用風溫為 650°C 。根據 1934 年的兩次測定，風口平面爐缸中心的溫度為 1495 及 1485°C ；庫茲涅茨三號高爐所得的數字也為 1485°C ，其爐缸直徑和馬格尼托哥尔斯克高爐爐缸直徑相等。同一馬格尼托哥尔斯克一號高爐熔煉平爐生鐵時，其爐缸中心的溫度為 1405 — 1410 — 1425°C ，甚至在高爐休風 $2\frac{1}{4}$ 小時後，其溫度僅下降到 1375°C [10]。

為要了解馬格尼托哥尔斯克高爐和兩個德國高爐從風口到爐缸中心之間溫度分布的差別，必須注意前面提出來的關於馬格尼托哥爾斯克高爐燃燒過程的圖解（見圖 94），並要注意用來進行比較的高爐在送風制度上的顯著區別。1934 年馬格尼托哥爾斯克高爐每分鐘送風 2250 立方公尺；在測定時一號高爐用 15 個風口送風，其斷面積總和為 0.265 平方公尺，流過風口的風速曾達每秒 140 公尺（在 0°C 及 760 公厘水銀柱壓力時）。

同時當每小時消耗 45.6 噸焦炭時，馬格尼托哥爾斯克高爐爐缸中的燃燒強度已為每小時每平方公尺爐缸面積 1000 公斤焦炭，事實上這一高爐消耗的焦炭常達每小時 50 噸。這樣由於進入爐缸的風量大，風壓高（1.3—1.5 大氣壓）和進入爐缸的風速高（在 0°C 及 760 公厘水銀柱壓力時達每秒 140 公尺）使燃燒焦點離開風口，使爐缸中心的溫度能不低於 1400°C 。寬大的馬格尼托哥爾斯克高爐爐缸並不妨礙爐缸中的正常燃燒強度。

1934 年在馬格尼托哥爾斯克工廠進行的第一次測定，在其後的一些年代中，曾在馬格尼托哥爾斯克工廠、在馬凱也夫工廠、在新里畢茨工廠、在查波洛什鋼鐵廠、在亞速鋼鐵廠舉行多次重複測量。圖 110 為查波洛什鋼鐵廠三號高爐（曲線 1 為 1938 年的測定）和馬格尼托哥爾斯克工廠一號高爐（曲線 2 為 1935 年的測定，曲

線 3 为 1936 年的測定，曲線 4 为 1937 年的測定)爐缸內溫度分布的圖解。

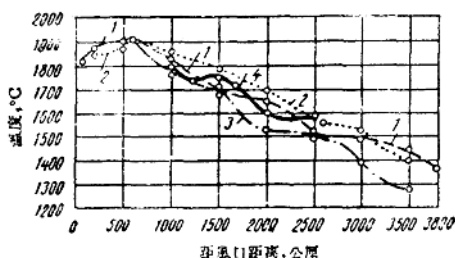


圖 110. 高爐風口平面上的爐缸溫度：
1—查波洛什三号高爐，2—馬格尼托哥爾斯克一號高爐
1935年的測定，3—1936年，4—1937年。

像这些曲線所指出的，順着風口向燃燒焦点的方向(燃燒焦点在燃燒产物中 CO_2 含量最高的地点) 溫度很快增高，达到 1900°C (里畢茨冶煉鑄造生鐵的高爐，焦炭消耗量很高，其最高溫度达到 1950°C)，然后向爐缸中心逐漸均匀下降，在爐缸中心为最低： 1390 — 1370°C 。在查波洛什鋼鐵厂三号高爐(直徑为 8 公尺)的爐缸中多次測定的平均溫度也为 1370°C (煉的是平爐生鐵，風量为每分鐘 2400 立方公尺——非全風)。在 1939 年当風量增到每分鐘 3000—3200 立方公尺时，爐缸中心溫度曾上升到 1410°C 。

冶炼錳鐵时，整个爐缸平面上的溫度都較冶炼制鋼生鐵和鑄造生鐵时的溫度高出很多：燃燒焦点的溫度到达 2000°C 甚至更高，在爐缸中心达 1550°C ，約較同一高爐冶炼制鋼生鐵时高出 150 到 250°C [10]。

冶炼硅鐵时，柳滂注意到差不多有着和冶炼錳鐵时同样高的溫度，在燃燒焦点为 1900 到 2000°C ，而在爐缸中心为 1500 到 1650°C [10]。

用肉眼觀察，經常可以看到各个風口的溫度常常是不同的，同一風口前在相當短的期間內溫度就有變動。在高爐風口附近的測定，首先使能將這種溫度差用度數表示出來，表 67 示出高爐 8 個風口中 4 個風口（每隔一個）每晝夜的平均溫度及 10 天的平均溫度[11]。

表 67.

在高爐上觀察的日期	各風口平均溫度，°C				全部風口 平均溫度， °C
	2	4	6	8	
第一天.....	1675	1775	1800	1650	1725
第二天.....	1650	1750	1800	1650	1710
第三天.....	1750	1850	1700	1600	1725
第四天.....	1825	1775	1800	1700	1775
10天平均數.....	1729	1778	1778	1693	1742

像從表 67 所看到的，在全部時間內，第八個風口前的溫度均比其他風口前的溫度為低；其中位置在出鐵口對面的第四個和第六個風口 10 天內的平均溫度，比出鐵口上面的第八個風口高出 85°C；中間位置的第二個風口的溫度則在二者之間（第八個及第四個風口之間）。

這些在博胡姆高爐上進行測定的結果，証實了在其他高爐操作的觀察中做出的結論：在出鐵口上面的爐料下降得較快，相應地這裡生成的爐渣也較冷，同時這裡的磚塊被侵蝕得也較快。

關於每一風口前溫度的時刻變化，則是由於下列各因素的變動引起爐缸溫度也變化：(1)風量，風溫及風壓；(2)燃燒強度，燃料消耗量和燃料的物理性質；(3)靠近風口的渣量及其難熔性；(4)爐缸周圍對煤氣通過的阻力的不均造成各風口進入的風量不同。

葆赫維斯涅夫、脫列卡洛、伏洛維克在查波洛什鋼鐵廠一號高爐上進行的特種研究的結果指出[12]，經不同風口送入的風量的